

北海道大学 正 貞 渡辺 昇  
 北海道大学 学生貞 川上 淳  
 北海道大学 学生貞 堀 孝司

## 1. まえがき

本研究は、図.1.a のような ラーメン隅角部の腹板の座屈値を出し、設計計算式を、求めたものである。解析の方法は、ラーメン隅角部の腹板を面内荷重をうける扇形平板と見做し、シャイベとしての応力分布を求める。次に、扇形平板の座屈曲面を仮定しておき、Ritz の方法により、座屈値を求めた。

## 2. 荷重と応力分布

図.2.a のような、扇形のシャイベに外力  $M, N, Q$  が作用するととき、その応力分布を Airy の応力関数より知る。軸対称の  $M$  が作用するとき、図 2.b となる。

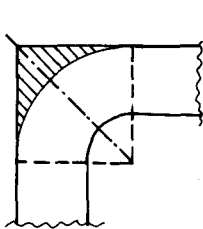


図.1.a

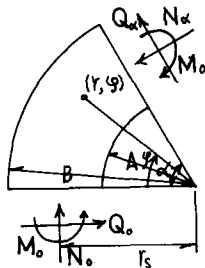


図.2.a

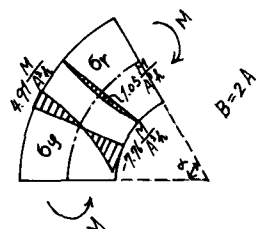


図.2.b

$$\left. \begin{aligned} \sigma_\varphi &= \frac{M_0}{B^2 h} \left\{ \left[ -\frac{C_{11}}{\left(\frac{r}{B}\right)^2} + \left(2C_{11} - C_{11}\right) + 2C_{31} \log \frac{r}{B} \right] + \left[ \frac{C_{32}}{\left(\frac{r}{B}\right)} + \frac{2C_{12}}{\left(\frac{r}{B}\right)^3} + 6C_{22} \left(\frac{r}{B}\right) \right] \sin \varphi + \left[ \frac{C_{33}}{\left(\frac{r}{B}\right)} + \frac{2C_{13}}{\left(\frac{r}{B}\right)^3} + 6C_{23} \left(\frac{r}{B}\right) \right] \cos \varphi \right\} \\ \tau_{r\varphi} &= \frac{M_0}{B^2 h} \left\{ - \left[ \frac{C_{32}}{\left(\frac{r}{B}\right)} - \frac{2C_{12}}{\left(\frac{r}{B}\right)^3} + 2C_{22} \left(\frac{r}{B}\right) \right] \cos \varphi + \left[ \frac{C_{33}}{\left(\frac{r}{B}\right)} - \frac{2C_{13}}{\left(\frac{r}{B}\right)^3} + 2C_{23} \left(\frac{r}{B}\right) \right] \sin \varphi \right\} \\ \sigma_r &= \frac{M_0}{B^2 h} \left\{ \left[ \frac{C_{11}}{\left(\frac{r}{B}\right)^2} - C_{11} + 2C_{31} \log \frac{r}{B} \right] + \left[ \frac{C_{32}}{\left(\frac{r}{B}\right)} - \frac{2C_{12}}{\left(\frac{r}{B}\right)^3} + 2C_{22} \left(\frac{r}{B}\right) \right] \sin \varphi + \left[ \frac{C_{33}}{\left(\frac{r}{B}\right)} - \frac{2C_{13}}{\left(\frac{r}{B}\right)^3} + 2C_{23} \frac{r}{B} \right] \cos \varphi \right\} \end{aligned} \right\} \quad (1)$$

式(1)において係数  $C_{ij}$  は、次式で表わされる。

$$\left. \begin{aligned} C_{11} &= \frac{d^2 \{ 4 \times \log d \cdot (1 + \frac{r}{B}) \}}{[4d^2 \cdot (\log d)^2 - (1-d^2)^2]}, \quad C_{21} = \frac{C_{11}(1-d^2-2d^2 \log d)}{4d^2 \log d}, \quad C_{31} = \frac{-\left(\frac{1}{d^2}-1\right)C_{11}}{2 \log d} \\ C_{12} &= \frac{d^2 \psi}{2[(1+d^2)\log d + (1-d^2)]}, \quad C_{22} = -\frac{C_{12}}{d^2}, \quad C_{32} = 2\left(1+\frac{1}{d^2}\right)C_{12} \\ C_{13} &= -\frac{d^2 \xi}{2[(1+d^2)\log d + (1-d^2)]}, \quad C_{23} = -\frac{C_{13}}{d^2}, \quad C_{33} = 2\left(1+\frac{1}{d^2}\right)C_{13} \end{aligned} \right\} \quad (2)$$

ここで

$$d = \frac{A}{B}, \quad N_0 = \frac{M_0}{B}, \quad Q_0 = \psi \frac{M_0}{B}, \quad h; \text{板厚である。}$$

### 3. Ritz の方法による座屈値

周辺単純支持の扇形平板の座屈曲面を次式で仮定する。

$$w(r, \varphi) = \sum_{n=1}^M \sum_{m=1}^N A_{mn} \sin \frac{m\pi \varphi}{\alpha} \sin \frac{n\pi \log \frac{r}{d}}{\log d}. \quad \dots \dots \dots \quad (3)$$

式(3)は周辺条件を満足する。

扇形平板のポテンシャルエネルギーは

$$\Delta = \frac{h}{2} \int_A^B \int_0^\alpha \left\{ \left[ G_r \left( \frac{\partial w}{\partial r} \right)^2 + G_\varphi \left( \frac{1}{r} \frac{\partial w}{\partial \varphi} \right)^2 + 2 T_{r\varphi} \left( \frac{1}{r} \frac{\partial w}{\partial r} \frac{\partial w}{\partial \varphi} \right) \right] + K \left[ \left( \frac{\partial^2 w}{\partial r^2} + \frac{1}{r} \frac{\partial w}{\partial r} + \frac{1}{r^2} \frac{\partial^2 w}{\partial \varphi^2} \right) - 2(1-\mu) \left( \frac{\partial^2 w}{\partial r^2} \left[ \frac{1}{r^2} \frac{\partial^2 w}{\partial \varphi^2} + \frac{1}{r} \frac{\partial w}{\partial r} \right] - \left[ \frac{1}{r} \frac{\partial^2 w}{\partial r \partial \varphi} - \frac{1}{r^2} \frac{\partial w}{\partial \varphi} \right] \right) \right] \right\} r d\varphi dr \quad (4)$$

$$\text{ここで } K = \frac{E h^3}{12(1-\mu^2)} ; \text{ 板剛性}$$

式(4)を簡単に書くと

$$\Delta = \int_A^B \int_0^\alpha F(\varphi, r, w', w, w', w'', w'') dr d\varphi \quad \dots \dots \dots \quad (5)$$

但し

$$w' = \frac{\partial}{\partial r} w, \quad w'' = \frac{\partial}{\partial \varphi} w \quad \text{である。}$$

ポテンシャルエネルギーを最小とする係数行列式を求める

$$\frac{\partial \Delta}{\partial A_{mn}} = \int_A^B \int_0^\alpha \frac{\partial F}{\partial A_{mn}} dr d\varphi = 0 \quad \dots \dots \dots \quad (6)$$

$$\text{即ち, } \sum_g A_{mg} R_{mnng} - k_M \left\{ A_{mn} B_{mnng}^{(1)} - \sum_g A_{mg} B_{mnng}^{(2)} + \sum_g A_{mg} B_{mnng}^{(3)} + \sum_p \sum_g A_{pg} B_{mnpg}^{(4)} \right\} = 0 \quad (7)$$

ここで

$$R_{mnng} = \alpha \frac{n g \left( \frac{\pi}{\beta d} \right)^2 \left[ 1 - (-1)^{n+g} \cdot d^{-2} \right]}{\left( 4 + \frac{(n-g)^2 \pi^2}{\beta d^2} \right) \left( 4 + \frac{(n+g)^2 \pi^2}{\beta d^2} \right)} \times \left\{ 4 \left[ \left( \frac{m\pi}{\alpha} \right)^2 + \left( \frac{n\pi}{\beta d} \right)^2 \right] \left[ \left( \frac{m\pi}{\alpha} \right)^2 + \left( \frac{g\pi}{\beta d} \right)^2 \right] + (1-\mu) \left[ (n^2-g^2)^2 \left( \frac{\pi}{\beta d} \right)^4 + 8(n^2+g^2) \left( \frac{\pi}{\beta d} \right)^2 + 16 \right] \right\} \quad (8)$$

$$B_{mnng}^{(1)} = -\frac{\beta d}{2} \alpha \left\{ \left( \frac{m\pi}{\alpha} \right)^2 \left[ 2C_{31} \left( 1 + \frac{\beta d}{2} \right) - C_{11} \right] + \left( \frac{n\pi}{\beta d} \right)^2 \left[ C_{31} \cdot \beta d - C_{11} \right] \right\} \quad (9)$$

$$B_{mnng}^{(2)} = \alpha \cdot C_{11} \left[ 1 - (-1)^{n+g} \cdot d^{-2} \right] \times \left\{ \left( \frac{m\pi}{\alpha} \right)^2 \left( \frac{1}{4 + \frac{(n-g)^2 \pi^2}{\beta d^2}} - \frac{1}{4 + \frac{(n+g)^2 \pi^2}{\beta d^2}} \right) - n g \left( \frac{\pi}{\beta d} \right)^2 \left( \frac{1}{4 + \frac{(n-g)^2 \pi^2}{\beta d^2}} + \frac{1}{4 + \frac{(n+g)^2 \pi^2}{\beta d^2}} \right) \right\} \quad (10)$$

$$B_{mnng}^{(3)} = 2 \alpha C_{31} \left\{ \left( \frac{m\pi}{\alpha} \right)^2 \left( \frac{1}{(n-g)^2 \pi^2} - \frac{1}{(n+g)^2 \pi^2} \right) + n g \left( \frac{\pi}{\beta d} \right)^2 \left( \frac{1}{(n-g)^2 \pi^2} + \frac{1}{(n+g)^2 \pi^2} \right) \right\} \quad (11)$$

$$B_{mnpg}^{(4)} = \frac{1}{2} \left\{ C_{32} \left[ 1 - (-1)^{m+p} \cdot \cos \alpha \right] + C_{33} \left( -1 \right)^{m+p} \sin \alpha \right\} \left[ 1 - d^{-1} \cdot (-1)^{n+g} \right] \times$$

$$\begin{aligned}
& \times \left\{ \begin{array}{l} (P_{mp} + Q_{mp}) m p \left(\frac{\pi}{d}\right)^2 (F_{ng} - H_{ng}) + (P_{mp} - Q_{mp}) n g \left(\frac{\pi}{d}\right)^2 (F_{ng} + H_{ng}) - \\ - \left(\frac{\pi}{d}\right)^2 \left( \begin{array}{l} m g [(m-p) P_{mp} - (m+p) Q_{mp}] \left[ (n-g) F_{ng} + (n+g) H_{ng} \right] + \\ + n p [(m-p) P_{mp} + (m+p) Q_{mp}] \left[ (n-g) F_{ng} - (n+g) H_{ng} \right] \end{array} \right) \end{array} \right\} \\
& + \left\{ C_{12} \left[ 1 - (-1)^{m+p} \cos \alpha \right] + C_3 (-1)^{m+p} \cos \alpha \right\} \left[ 1 - (-1)^{n+g} d^{-3} \right] \times \\
& \times \left\{ \begin{array}{l} 3(P_{mp} + Q_{mp}) m p \left(\frac{\pi}{d}\right)^2 \left( \frac{1}{9 + \frac{(n-g)^2 \pi^2}{P_d^2}} - \frac{1}{9 + \frac{(n+g)^2 \pi^2}{P_d^2}} \right) - \\ - 3(P_{mp} - Q_{mp}) n g \left(\frac{\pi}{d}\right)^2 \left( \frac{1}{9 + \frac{(n-g)^2 \pi^2}{P_d^2}} + \frac{1}{9 + \frac{(n+g)^2 \pi^2}{P_d^2}} \right) + \\ + \left(\frac{\pi}{d}\right)^2 \left( \begin{array}{l} m g [(m-p) P_{mp} - (m+p) Q_{mp}] \left( \frac{(n+g)}{9 + \frac{(n+g)^2 \pi^2}{P_d^2}} - \frac{(n-g)}{9 + \frac{(n-g)^2 \pi^2}{P_d^2}} \right) \\ - n g [(m-p) P_{mp} + (m+p) Q_{mp}] \left( \frac{(n+g)}{9 + \frac{(n+g)^2 \pi^2}{P_d^2}} - \frac{(n-g)}{9 + \frac{(n-g)^2 \pi^2}{P_d^2}} \right) \end{array} \right) \end{array} \right\} \\
& + \left\{ C_{22} \left[ 1 - (-1)^{m+p} \cos \alpha \right] + C_{23} (-1)^{m+p} \sin \alpha \right\} \cdot \left[ 1 - (-1)^{n+g} d \right] \times \\
& \times \left\{ \begin{array}{l} -3(P_{mp} + Q_{mp}) m p \left(\frac{\pi}{d}\right)^2 (F_{ng} - H_{ng}) - (P_{mp} - Q_{mp}) n g \left(\frac{\pi}{d}\right)^2 (F_{ng} + H_{ng}) - \\ - \left(\frac{\pi}{d}\right)^2 \left( \begin{array}{l} m g [(m-p) P_{mp} - (m+p) Q_{mp}] \cdot [(n+g) H_{ng} + (n-g) F_{ng}] \\ - n g [(m-p) P_{mp} + (m+p) Q_{mp}] \cdot [(n+g) H_{ng} - (n-g) F_{ng}] \end{array} \right) \end{array} \right\} \quad (12)
\end{aligned}$$

$$\begin{aligned}
& \Rightarrow \theta = \log d \quad P_{mp} = \frac{1}{(m-p)^2 \left(\frac{\pi}{d}\right)^2 - 1}, \quad Q_{mp} = \frac{1}{(m+p)^2 \left(\frac{\pi}{d}\right)^2 - 1} \\
& F_{ng} = \frac{1}{(n-g)^2 \left(\frac{\pi}{d}\right)^2 + 1}, \quad H_{ng} = \frac{1}{(n+g)^2 \left(\frac{\pi}{d}\right)^2 + 1}
\end{aligned}$$

#### 4. 数値計算結果

図. 3. a, b は、曲げモーメントの限界値を  $\alpha$  と  $d$  を種々かえて求めたもの、一例である。

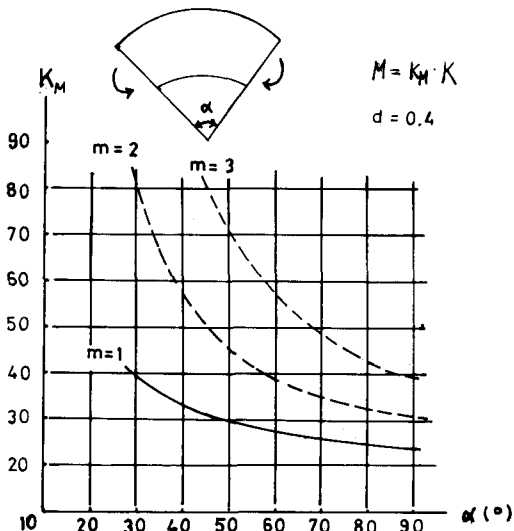


図. 3. a

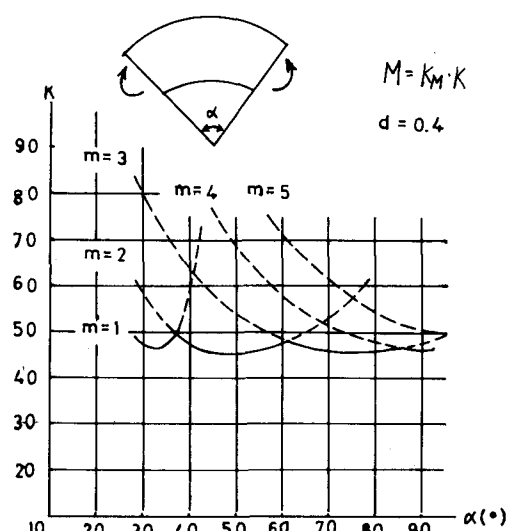


図. 3. b

## 5. 設計計算式

図.3 の  $d = 0.2 \sim 0.9$  迄の座屈値の最小値を示す次式を筆者らは提案する。

### I. 図.3 a.

$$k_{\min} = f_1(d) + \frac{f_2(d)}{\alpha^2} + f_3(d) \cdot \alpha^2 \quad (13)$$

$\therefore$  で

$$f_1(d) = 28.97 \cdot d + 14.40$$

$$f_2(d) = -1172123 d^3 + 1769526 d^2 - 939809 d + 180035 \quad (d < 0.6)$$

$$f_2(d) = 0 \quad (d \geq 0.6)$$

$$f_3(d) = -0.000476 \quad (d \leq 0.4)$$

$$f_4(d) = -0.00114 d - 0.000038 \quad (d > 0.4)$$

### II. 図.3. b.

$$k_{\min} = 43.50 + \frac{0.43}{d^2} - 5.35 d^2 \quad (14)$$

式(14)は、図.4のように描かれる。

## 6. 数値計算例

図.5のようなラーメン隅角部の曲げモーメントの限界値を求める。

隅角部に補剛  
桁があり、腹板  
が単純支持され  
ていると考え  
ると

$$d = 0.3$$

$$\alpha = 45^\circ$$

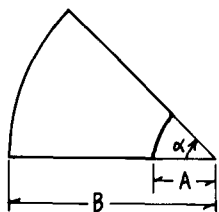


図. 5.

のとき

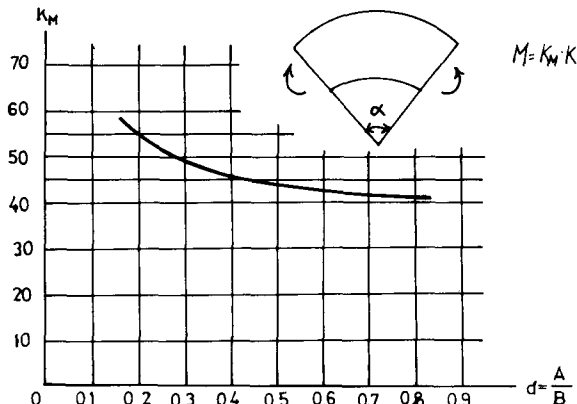


図. 4.

式 (13) より

$$k_{\min} = 34.8$$

式 (14) より

$$k_{\min} = 47.8$$

である。

## 参考文献

King-Yuen Chu ; Beuluntersuchung von ebenen Stegblechen kreisförmig gekrümmter Träger mit I-Querschnitt ; Der Stahlbau . 1966. 5.